



برآورد ضریب محصولات کشاورزی کشت و صنعت مغان و مطالعه رابطه تبخیر-تعرق با راندمان تولید محصولات

ایوب مرادی^۱، حدیثه بابایی^۱، عباس علیمحمدی^۲، سهیل رادیوم^۱

۱. مرکز تحقیقات فضایی، پژوهشگاه فضایی ایران

۲. دانشیار گروه GIS، دانشکده نقشه برداری (ژئودزی و ژئوماتیک)، دانشگاه صنعتی خواجه نصیرالدین طوسی

تاریخ دریافت مقاله: ۱۳۹۷/۰۶/۱

تاریخ پذیرش مقاله: ۱۳۹۸/۰۳/۲۸

چکیده

کمبود روزافزون منابع آب تجدیدپذیر در کشور، برآورد نیاز آبی مزارع را به یکی از اولویت‌های مهم مدیریت آب در کشاورزی تبدیل نموده است. نیاز آبی مزارع توسط مولفه‌های اقلیمی منطقه کنترل می‌شود و برابر است با تبخیر-تعرق مرجع که با یک ضریب ویژه (بسته به نوع محصول و منطقه جغرافیایی کاشت) اصلاح می‌گردد. در تحقیق حاضر، با استفاده از تصاویر ماهواره لندست^۸، ضریب محصولات عمده کشاورزی منطقه کشت و صنعت مغان از دو روش برآورد و مقایسه شده است. روش نخست بر مبنای اندازه‌گیری تبخیر-تعرق مزارع و روش دوم بر مبنای اندازه‌گیری شاخص گیاهی NDVI است. مقایسه این دو روش برای پنج محصول عمده منطقه نشان داد که مقدار خطای جذر میانگین مربعات قابل قبول (کمتر از ۰/۲۸) است. در ادامه، برای برآورد نیاز آبی محصولات، از ضریب محصول تولید شده بر مبنای تبخیر-تعرق استفاده شد. نیاز آبی محصولات با شش متراً بدین شد: ترکیب دو روش برآورد تبخیر-تعرق واقعی و سه روش برآورد تبخیر-تعرق مرجع. از میان آنها، متد متربک-پنمونتیث برای برآورد نیاز آبیاری بکارگرفته شد. تخمین نیاز آبیاری مستلزم کسر کردن بارش موثر از نیاز آبی است. برای برآورد بارش موثر، پس از بررسی چهار روش متد اول، روش فائق برای شبیه‌های کم ترجیح داده شد. نیاز آبیاری محصولات منطقه کشت و صنعت مغان بر از حداقل ۲۷۰ میلی‌متر (برای جو دیم) تا حداقل ۱۵۰۰ میلی‌متر (برای باغ زیتون) برآورد شده است. بررسی آماری اندازه‌گیری‌ها سه ساله وجود یک همبستگی را بین میزان عملکرد محصول و میزان تبخیر-تعرق مزارع آشکار کرد. همچنین مشخص شد که عملکرد محصولات با شاخص‌های طیفی گیاه نیز دارای رابطه معنی‌دار است. هدف نخست تحقیق حاضر، برآورد ضرایب محلی محصولات کشاورزی منطقه مغان است؛ هدف دوم، بررسی رابطه‌مندی ضریب محصولات کشاورزی و شاخص‌های طیفی آنها بهمنظور تخمین ضریب محصولات بصورت مستقیم از این شاخص‌هاست.

کلید واژه‌ها: تبخیر-تعرق، ضریب محصول، نیاز آبی، کشت و صنعت مغان.

۱- مقدمه

تفکیک زمانی ۱۶ روز هستند، می‌توان در مطالعات کشاورزی نتایج بدست آمده را با استفاده از درون‌یابی از نظر زمانی تعمیم داد. برای این‌کار، هرچه توزیع زمانی تصاویر مناسب‌تر باشد، نتایج قابل اطمینان‌تر خواهد بود. البته این امر با این پیش‌فرض صورت می‌گیرد که شرایط جوی نیز در گام‌های زمانی مطابق با تصاویر روند طبیعی و قابل درون‌یابی داشته باشد.

برای برآورد ET با استفاده از تصاویر ماهواره‌ای از جمله الگوریتم‌هایی که مورد توجه بسیار قرار گرفته است، الگوریتم توازن انرژی سطحی زمین (سبال^۱) Bastiaanssen et al., 1998a, 1998b; Bastiaanssen, 2000 است. باستیانسین و همکاران در سال ۱۹۹۸ یک مدل چند مرحله‌ای مبتنی بر فیزیک، با استفاده از معادله بیلان انرژی سطح و توزیع مکانی انرژی را ارائه کردند. این الگوریتم از دمای سطحی، انعکاس سطحی و شاخص تفاضلی نرمال‌شده گیاهی (NDVI) و روابط دورنی آن‌ها جهت برآورد شاره‌ای سطحی برای پوشش‌های سطح زمین استفاده می‌کند. ارتباط بین انرژی طیف مرئی و طیف مادون قرمز حرارتی در نواحی با تباين هیدرولوژیکی زياد، اساس رابطه‌بندی مدل سبال را تشکيل مي‌دهد. مدل سبال از سال ۱۹۹۸ تا به امروز در سطح جهان مورد استفاده قرار گرفته است.

نتایج مطالعات حاکی از تطابق بالای نتایج مدل سبال با میزان واقعی ET بوده است (Ruhoff et al., 2012; Bastiaanssen et al., 2005, Teixeira et al., 2009, Paiva et al., 2011, Bhattacharai et al., 2012, "نقشه کردن تبخیر-تعرق با تفکیک بالا و کالیبراسیون داخلی" که به اختصار روش متريک^۲ ناميده می‌شود بر اساس مدل سبال و توسط دانشگاه آيداهو توسعه داده شده است (Allen et al., 2005, 2007, Tasumi et al., 2005a, Tasumi et al., 2005b

1. Evapotranspiration
2. Surface Energy Balance Algorithm for Land (SEBAL)
3. Normalized difference vegetation index
4. Mapping EvapoTranspiration at high Resolution with Internalized Calibration (METRIC)

ایران، کشوری با اقلیم عمده‌گرم و خشک است که میزان سرانه آب تجدیدپذیر آن در نیم سده اخیر کاهش قابل ملاحظه‌ای داشته است (بیران و هنربخش، ۱۳۸۶). در سال ۱۳۸۶، از ۱۳۰ میلیارد متر مکعب منابع تجدیدشونده آب کشور، حدود ۸۹ میلیارد متر مکعب آن برای مصارف کشاورزی، صنعت و معدن و خانگی برداشت شده است. که حدود ۹۳ درصد از این مقدار به تنها‌یی به بخش کشاورزی اختصاص داشته است (احسانی و همکاران، ۱۳۸۲). این درحالیست که تنها ۱۵ درصد مساحت ایران زیر کشت می‌رود. استفاده بی‌رویه از منابع آب سطحی و زیرزمینی برای آبیاری اهمیت بالای مدیریت آبیاری را نمایان می‌کند. نیاز محصولات به آبیاری، بستگی مستقیم به میزان تبخیر-تعرق آن‌ها دارد. تبخیر-تعرق (ET)^۳ یکی از مولفه‌های کلیدی و پیچیده بیلان انرژی و بیلان آب بوده و نقش آن در درک فرایندهای عمله سیستم زمین حیاتی است. تعداد زیادی فاکتور محیطی (همانند رطوبت خاک، فولوژی گیاه، انواع پوشش و خصوصیات خاک) و فاکتور اقلیمی (همانند تابش، دمای هوا، رطوبت، سرعت باد) به شیوه‌ای پیچیده بر روند ET گیاهان تاثیر می‌گذارند. روش‌های مستقیم اندازه‌گیری تبخیر-تعرق (همانند تست تبخیر و لایسیمتر) پرزمخت، زمان‌بر و هزینه‌بر بوده و در مقیاس منطقه‌ای محدودیت دارند (Droogers, 2000). امروزه داده‌های ماهواره‌ای امکان برآورد تبخیر-تعرق در سطح وسیع بدون نیاز به محاسبه فرآیندهای هیدرولوژیکی پیچیده را فراهم کرده است. در دو دهه اخیر روش‌های تخمین ET بر پایه سنجش از دور، به عنوان جایگزین مناسبی برای روش‌های میدانی تکامل Bastiaanssen et al., 1998a; Allen et al., 2007; Allen et al., 2011 مکانی و طیفی مطلوب، از تصاویر ماهواره لندست ۸ برای محاسبه تبخیر-تعرق در سطح مزارع بوفور استفاده می‌شود. از آنجایی که این تصاویر دارای قدرت

مقدمه حاضر، بخش دوم به معرفی منطقه مطالعه و داده‌ها و روش‌های مورد استفاده می‌پردازد. در این بخش، تبخیر-تعرق، نیاز آبی و نیاز آبیاری محصولات و روش استخراج آن‌ها بیان شده است. رابطه ضریب محصولات با شاخص‌های گیاهی در بخش سوم آمده است. بخش چهارم به رابطه نیاز آبی محصولات و شاخص‌های طیفی با عملکرد محصولات می‌پردازد. بخش پنجم به نتیجه‌گیری اختصاص یافته است و لیست منابع مورد استفاده در بخش ششم آمده است.

۲- مواد و روش‌ها

۱-۲- منطقه مطالعه و داده‌های مورد استفاده
شرکت کشت و صنعت مغان یکی از بزرگترین و پیشرفته‌ترین شرکت‌های کشت و صنعت ایران در منتها الیه شمال استان اردبیل (عرض: ۳۹°۴۳' و طول ۴۷°۷۵' شرقی) واقع شده است. زمین‌های کشاورزی این شرکت حدود ۲۰ هزار هکتار مساحت دارد که بیش از ۹۰٪ آن‌ها بصورت آبی و با شبکه آبیاری مجهز کشت می‌شود. محصولات عمده کشت و صنعت مغان شامل گندم، جو، یونجه، کلزا، پنبه، ذرت، چغندر قند و آفتابگردان است (شکل ۱- سمت راست). تقویم زراعی این محصولات بجز پنبه، ذرت پاییزه و آفتابگردان، مشابه است. تصاویر مورد استفاده در این تحقیق، شامل ۴۸ تصویر ماهواره لندست ۸ است که در بازه زمانی سال‌های زراعی ۱۳۹۳ تا ۱۳۹۵ برداشت شده است. این تصاویر در سطح پردازش (۱) که باکیفیت‌ترین نوع داده بوده و برای تحلیل سری‌های زمانی مناسب است، فراهم شده است. این سطح از داده‌ها با دقت بالا زمین‌مرجع شده است (Landsat Collections, 2016). زمان گذر ماهواره از روی منطقه مغان بسته به موقعیت مرکز سین (شکل ۱- سمت چپ) حدود ساعت ۷:۲۵ تا ۷:۳۱ صبح، بوقت محلی (ساعت رسمی کشور) است. از میان تصاویر قابل دسترس، این ۴۸ تصویر طوری انتخاب شده‌اند که تا جایی که پوشش ابری اجازه داده است، دارای توزیع

نقشه ET از محصولات کشاورزی با توان تفکیک‌های مکانی متفاوت مورد استفاده بوده است: از جمله اعمال Allen et al., 2011, ۳۰ متری (Santos et al., 2012) و مدل کردن ET با قدرت تفکیک مکانی ۵۰۰ متر (Tasumi et al., 2006). در مدل متريک تاثيرات شيب و جهت شيب مزرعه در محاسبه بيلان انرژي در نظر گرفته می‌شود (Allen et al., 2008).

مزیت بارز استفاده از مدل‌های سبال و متريک اين است که اين مدل‌ها مستقل از نوع محصول هستند؛ به عبارت ديگر با استفاده از اين مدل‌ها، برای برآورد تبخیر-تعرق نيازي به دانستن نوع محصول و دانستن مقادير ضريب محصول نمي‌باشد. محققان مدل‌های سبال و متريک را در طيف وسعي از كاربردها مانند مدیريت حقابه‌ها، تحصيص منابع آب، برآورد تخليه آبهای زيرزميني غير پايدار، مدل‌سازی آبهای زيرزميني و برآورد عملکرد آبدھي دائمي بكار برده‌اند Bastiaanssen & Chandrapala, 2003; Allen et al., 2007; Allen et al., 2011; Santos et al., 2012; Roy et al., 2014). اگرچه الگوريتم سبال برای محاسبه بيلان انرژي در مقیاس منطقه‌ای با دخالت کمترین داده زمینی طراحی شده است، اما برآورد محلی پارامترهای بكاررفته در آن می‌تواند دقت مدل را بهبود بخشد (Duchemin et al., 2006). مدل سبال بهترین الگوريتمی تخمین ET است که به کمترین داده و رودی از متغيرهای زمینی نيازي دارد (Bashir et al., 2006).

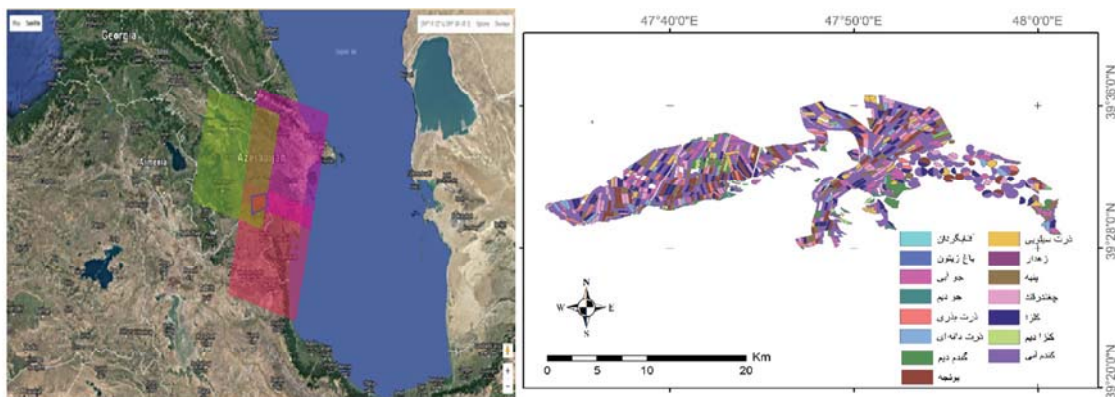
استفاده از مدل سبال و متريک در شرایط اقليمي خشك و نيمه خشك حاكم بر بخش اعظم ايران، که چالش عمده آن کمبود منابع آب و اتلاف زياد آن در اثر پديده تبخير-تعرق است، می‌تواند محققان کشور را در برآورد مقدار تبخير-تعرق و برنامه‌ریزی مدیريت منابع آب در ابعاد وسیع ياري کند. با استفاده از اين مدل‌ها می‌توان مقدار نياز آبی محصولات کشاورزی را تعیین کرده و در راستاي مدیريت موثر منابع آب اقدام کرد.

این مقاله در شش بخش ارائه می‌شود: به دنبال

پیکسل‌ها جایگزین شده‌اند. پیکسل‌های پرت در محاسبه دمای سطح زمین و همچنین در محاسبه پیکسل‌های گرم و سرد ایجاد اختلال می‌کنند. از آنجایی که دما و بازتاب سطح فوکانی ابر ممکن است متفاوت از مشخصات سطح مزرعه باشد، حذف ابرها در برآورد دقیق‌تر تبخیر-تعرق بسیار مهم است. مناطق سایه ابر و پوشش برفی نیز امکان دارد به‌ویژه از نظر حرارتی و انعکاسی به نتایج غیرواقعی بیانجامند. در این تحقیق برای شناسایی و حذف پوشش ابر، سایه ابر و پوشش برف از ابزار fmask (Zhu and Curtis, 2011) استفاده شده است. داده‌های به‌کار رفته در این تحقیق، در جدول (۱) خلاصه شده است.

زمانی مناسبی باشند. قدرت تفکیک مکانی این تصاویر برای باندهای طیف مرئی ۳۰ متر است و برای باندهای حرارتی ۱۰۰ متر بوده که به ۳۰ متر نمونه برداری مجدد (resample) شده است.

مقایسه نتایج بین تاریخ‌های متوالی در این تحقیق، پیکسل به پیکسل نبوده و بر اساس میانگین مزارع است؛ لذا انتباط هندسی تصاویر با دقت بالا، تاثیر قابل توجهی در نتایج ندارد. لذا برای جلوگیری از تغییر و ادغام‌شدن (smoothing) مقادیر پیکسل‌ها، تصحیح هندسی و رادیومتریک برروی تصاویر، برای وجود پیکسل‌های پرت احتمالی (outliers) چک شده و این



شکل ۱. موقعیت مزارع کشت و صنعت مغان (سمت راست) و سه سین لندست پوشش دهنده منطقه مغان (سمت چپ)، منطقه مغان در چهار ضلعی آبی رنگ واقع شده است.

جدول ۱. داده‌های مورد استفاده

مولفه	توضیح	تعداد	منبع
تصویر ماهواره‌ای	تصویر لندست	۴۸	USGC
مدل رقومی ارتفاع	SRTM 1 Arc-second	۱	Earth Explorer
نقشه پوشش زمین	Global Land Cover	۱	USGC
داده‌های هواشناسی	دما، سرعت باد، رطوبت نسبی و فشار هوای زمان اخذ تصاویر و متوسط ماهیانه	ایستگاه پارس‌آباد	
آمار محصولات	میزان عملکرد محصولات (تولید بر هکتار)	۳ سال	کشت و صنعت مغان

کارشناسان انجام شود و یا با استفاده از آستانه‌گذاری شاخص گیاهی (NDVI) و دمای سطح زمین (LST) از راه دور صورت گیرد (Olmedo Bastiaanssen 1998) در سال 2016. در صورت انتخاب میدانی پیکسل‌های گرم و سرد، این انتخاب بایستی هم‌زمان با اخذ تصاویر ماهواره‌ای انجام پذیرد، که این امر عملاً باعث غیر قابل اعمال کردن این روش بویژه برای مناطق دوردست می‌کند. در پژوهش حاضر، انتخاب پیکسل‌های سرد و گرم، به صورت اتوماتیک انجام گرفت. ثابت‌های a و b در رابطه (۸) با استفاده از پیکسل‌های سرد و گرم به دست می‌آیند. معرفی و نحوه محاسبه پارامترهای به کارفته در روابط ۲ تا ۸ در جدول (۲) آمده است.

$$H = (\rho \times C_p \times dT) / r_{ah} \quad (7)$$

$$dT = b + a * T_{S\, datum} \quad (8)$$

۳-۲-تبخیر-تعرق مرجع

شرایط اقلیمی منطقه بر نیاز آبی محصول تاثیر دارد. یک محصول در طول رشد در شرایط اقلیمی گرم و آفتابی نسبت به همان محصول در شرایط آب و هوایی ابری و سرد آب بیشتری در طول روز نیاز دارد. علاوه بر نور خورشید و دما، رطوبت هوا و سرعت باد نیز بر نیاز آبی محصول تأثیر می‌گذارد. بالاترین نیاز آبی گیاهان در مناطق گرم، خشک، بادی و آفتابی؛ و کمترین آن در مناطق سرد، مرطوب و ابری و کم‌باد رخ می‌دهد. بنابراین یک محصول کشاورزی مشخص در زون‌های اقلیمی مختلف، نیاز آبی متفاوتی خواهد داشت. این مسئله، لزوم تعیین یک محصول استاندارد یا مرجع و تعیین نیاز آبی آن در مناطق اقلیمی مختلف را نشان می‌دهد. تأثیر اقلیم بر نیاز آبی محصول توسط تبخیر-تعرق مرجع (ET_0) قابل بیان است. روش‌های تجربی اندازه‌گیری تبخیر-تعرق همانند تشت تبخیر یا لایسیمتر زمان بر بوده و به دلیل هزینه‌های احداث، ساخت و نگهداری، راهاندازی آن‌ها در مقیاس وسیع امکان‌پذیر نیست. در مناطق وسیع از روش‌های نظری برای محاسبه تبخیر-تعرق مرجع استفاده می‌شود (خسروشاهی، ۱۳۹۲). روش‌های نظری از پارامترهای

۲-۲-تبخیر-تعرق

برای محاسبه تبخیر-تعرق با روش‌های سبال و متريک که مبتنی بر بيلان انرژي سطح زمین هستند، لازم است سه مولفه اصلی تابش خالص رسیده به سطح زمین (R_n)، شار گرمای خاک (G) و شار گرمای محسوس (H) محاسبه شوند. با استفاده از سه پaramتر مذکور شار گرمای نهان (λET) محاسبه می‌شود (معادله ۱). از آنجایی که گرمای نهان يك واحد آب ثابت فرض می‌شود (هر $2/54$ مگاژول انرژی توان تبخیر يك ميليمتر آب را دارد) می‌توان گرمای نهان را به واحد معادل آب قابل تبخیر تبدیل کرد.

$$\lambda ET = R_n - G - H \quad (1)$$

شار تابش خالص رسیده به سطح زمین حاصل موازن‌ه شار تابشی ورودی و خروجی است:

$$R_n = (1 - \alpha) R_{S\downarrow} + R_{L\downarrow} - R_{L\uparrow} - (1 - \varepsilon_0) R_{L\uparrow} \quad (2)$$

در رابطه بالا، تابش طول موج کوتاه ورودی ($R_{S\downarrow}$) از رابطه (۳)، تابش طول موج بلند ورودی ($R_{L\downarrow}$) از رابطه (۴)، تابش طول موج بلند خروجی ($R_{L\uparrow}$) از رابطه (۵) بدست می‌آيد. درصد گسیل‌مندی حرارتی سطح زمین است و آلبیدو سطحی (α) با قابلیت انتقال اتمسفری رابطه دارد (جدول ۲).

$$R_{S\downarrow} = G_{sc} \times \tau_{sw} \times \cos\theta \times dr \quad (3)$$

$$R_{L\downarrow} = \varepsilon_a \times \sigma \times T_a^4 \quad (4)$$

$$R_{L\uparrow} = \varepsilon_o \times \sigma \times T_s^4 \quad (5)$$

شار گرمای خاک (G) تابعی است از شار تابش خالص (Rn)؛ اما آلبیدو و دمای خاک (Ts) نیز در کنترل آن نقش ایفا می‌کنند:

$$G = Ts / \alpha (0.0038 \alpha + 0.0074 \alpha^2) \times (1 - 0.98 \times NDVI^4) * R_n \quad (6)$$

شار گرمای محسوس تابعی از گرادیان دما، زبری سطح و سرعت باد است (رابطه ۷). برای محاسبه اختلاف دمایی بین دو ارتفاع (dT) می‌باشد در محدوده مورد مطالعه، دمای حداقل و دمای حداکثر بر روی تصویر تعیین شوند. این کار می‌تواند به صورت میدانی توسط

جدول ۲. پارامترهای مورد استفاده برای محاسبه تبخیر - تعرق

مقدار	معنی	مولفه
۱۳۶۷ وات بر مترمربع	ثابت خورشیدی	G_{sc}
$\tau_{sw} = 0.75 + 2 \times 10^{-5} \times Z$	قابلیت انتقال اتمسفری	τ_{sw}
DEM	ارتفاع از سطح دریا	Z
زاویه زنیت خورشید = در مدل سبال تابعی از شب و جهت زمین = در مدل متربیک	زاویه برخورد نور خورشید به سطح زمین	θ
$1 + 0.033 \times \cos(DOY \times 2\pi / 365)$	معکوس مربع فاصله نسبی زمین و خورشید	dr
۱ - ۲۶۵	عدد ژولیوسی روز در سال مربوطه	DOY
$0.85 \times (-\ln(\tau_{sw}))^{0.09}$	گسیلمندی اتمسفری	ε_a
۵.۶۷ E-۸	ثابت استفان بولتزمن	σ
$1.009 + 0.047 \times \ln(NDVI)$	گسیلمندی سطحی	ε_o
$B5 - B4 / B5 + B4$	شاخص تضاضی نرمال شده	NDVI
ایستگاه هواشناسی	دماه هوا	T_d
LST	دماه سطح خاک	T_s
$\frac{\alpha_{top} - \alpha_{min}}{\tau_{sw}^2}$	آلبیدو سطح	α
$r_7 p_7^x + p_6 \times r_6 + r_5 \times p_5 + r_4 p_4^x + r_3 p_3^x + r_2 \times p_2$	آلبیدو در بالای اتمسفر	α_{top}
Min (α_{top})	کمترین مقدار آلبیدو در بالای اتمسفر	α_{min}
$(Add_{refb} + Mult_{refb} \cdot DN_b) / \sin(SUNe)$	اعکاس باند (n)	rn
در منابع مربوطه (از جمله Akdim et al, 2014)	وزن باند (n)	pn
از فایل مرجع تصویر	مقادیر افزایشی باند (n)	Add_{refb}
از فایل مرجع تصویر	مقدار ضربی باند (n)	$Mult_{refb}$
باند تصویر	مقدار پیکسل (n)	DN_b
از فایل مرجع تصویر	زاویه ارتفاع خورشید زمان اخذ تصویر	$SUNE$
$(1000 \cdot AirPressure) / (1.01 \cdot (LST)^{287})$	تراکم هوا	ρ
۱۰۰۴ ژول بر کیلوگرم بر کلوین	گرمای ویژه هوا	C_p

- روش هارگریوز و سمانی (Hargreaves and Samani, 1985)
رابطه (۹)

$$ET0 = 0.0023 * Ra * (Tmean + 17.8) * \sqrt{(Tmax - Tmin)}$$

- روش پنمن-مونتیث (Penman-Monteith, 2005)
رابطه (۱۰)

- روش برتری و همکاران (Berti et al., 2014)
رابطه (۱۱)

$$ET0 = 0.00193 * Ra * (Tmean + 17.8) * (Tmax - Tmin)^{0.517}$$

اقلیمی استفاده می‌کنند. در تحقیق حاضر، سه تا از متداول‌ترین روش‌های نظری برآورد تبخیر-تعرق مرجع، شامل روش پنمن-مونتیث (۲۰۰۵)، روش هارگریوز و سمانی (۱۹۸۵) و روش جدیدتر برتری و همکاران (۲۰۱۴) استفاده شده است. نحوه محاسبه این روش‌ها در رابطه‌های (۹)، (۱۰) و (۱۱) و معنی مولفه‌های به کار رفته در آنها، در جدول (۳) آمده است. توضیح بیشتر این روش‌ها در منابع متعدد از جمله Allen et al., 1998, 2007, 2008, 2011; Bastiaanssen, 1998 و همچنین در وبسایت سازمان FAO آمده است.

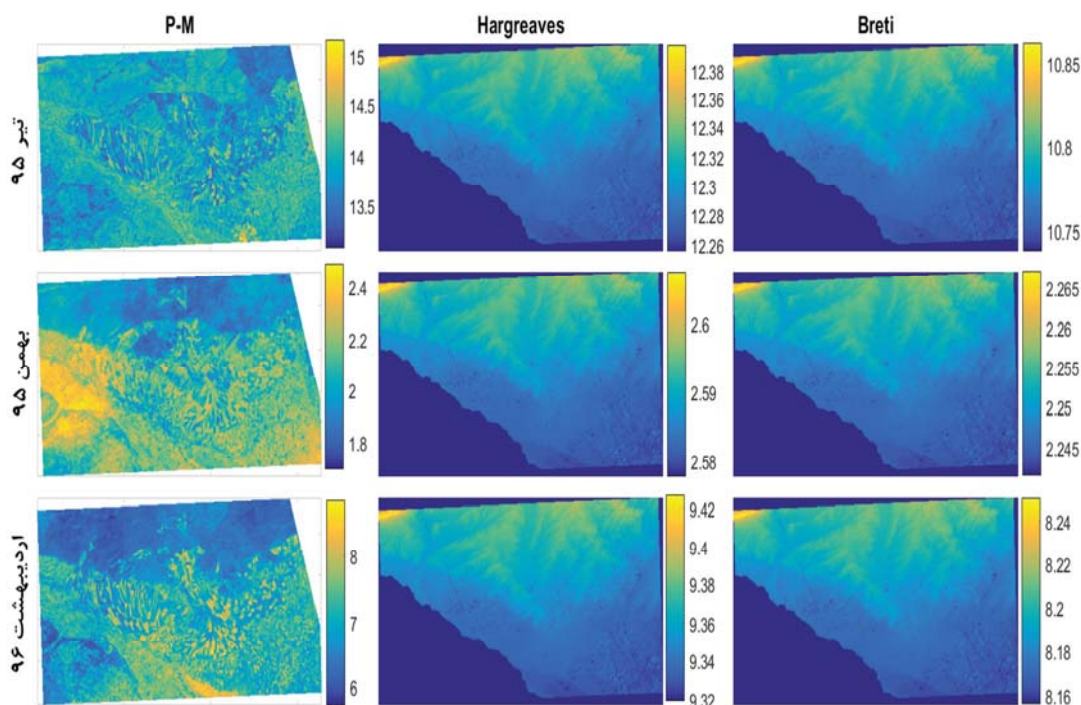
جدول ۳. پارامترهای استفاده شده برای محاسبه تبخیر-تعرق مرجع

معرفی	مولفه	معرفی	مولفه	معرفی	مولفه
متوجه دمای هوا	<i>Tmean</i>	تابش فرازمینی روزانه	<i>Ra</i>	تبخیر-تعرق مرجع	<i>ETo</i>
حداقل دمای هوا	<i>Tmin</i>	شار گرمایی خاک	<i>G</i>	شب منحنی اشباع بخار	Δ
حداکثر دمای هوا	<i>Tmax</i>	فشار بخار اشباع	<i>es</i>	ثابت سایکومتریک	γ
ارتفاع زمین	<i>Z</i>	فشار بخار لحظه‌ای	<i>ea</i>	گرمای نهان تبخیر	λ
		سرعت باد در ارتفاع ۲	<i>U</i>	تابش خالص کل	<i>Rn</i>
		متری			
		دماهی هوای	<i>T</i>	تابش خالص موج کوتاه	<i>Rs</i>

۴-۲- نیاز آبی

آب مورد نیاز برای جبران تلفات تبخیر-تعرق گیاهان مزرعه، نیاز آبی نامیده می‌شود. مقادیر تبخیر-تعرق گیاه و نیاز آبی گیاه تقریباً یکسان است. تحقیقات مختلف نشان داده بیش از ۹۹ درصد آب جذب شده توسط گیاه، صرف عمل تبخیر-تعرق شده و کمتر از یک درصد آن در فعالیت‌های سوختو ساز گیاه مصرف می‌شود.

با استفاده از سه روش معرفی شده، متوجه ماهیانه تبخیر-تعرق مرجع برای سال زراعی ۱۳۹۶ محاسبه شد (شکل ۲). نتایج روش‌های هارگریوز-سمانی و برتری-همکاران با روش پنمن مونتیث، حدود هشت درصد با همدیگر تفاوت دارند. اما تفاوت بین دو روش ساده‌تر هارگریوز-سمانی و برتری-همکاران از چهار درصد فراتر نمی‌رود.



شکل ۲. نقشه تبخیر-تعرق مرجع در منطقه مغان (میلیمتر بر روز)، تولید شده با استفاده از سه روش پنمن مونتیث، هارگریوز-سمانی، و برتری-همکاران

پامترهای بررسی شده، ضریب گیاهی در اشکال متفاوت ارائه شده است (Allen et al., 1998)؛ در تحقیق حاضر، از ضریب ترکیبی محصول، که تبخیر و تعرق را به صورت همزمان و تفکیک نشده برآورد می‌کند، استفاده شده است. این نوع ضریب محصول، رایج‌ترین و کاربردی‌ترین نوع آن برای برنامه‌ریزی و زمان‌بندی آبیاری، اهداف مدیریتی و همچنین برای مطالعات بیان هیدرولوژیکی بوده و استفاده از آن مناسب‌تر و راحت‌تر از ضرایب محصول دوگانه است (Allen et al., 1998). تبخیر-تعرق محصول می‌تواند با استفاده از ضریب گیاهی محاسبه شود (Allen et al., 1998; Allen et al., 2005). برآورد تبخیر-تعرق محصول مبتنی بر ضریب گیاهی یکی از رایج‌ترین روش‌های مورد استفاده برای مدیریت آب آبیاری در مقیاس مزرعه است. ضریب محصول با نسبت‌گیری تبخیر-تعرق مرجع (ET_0) و تبخیر-تعرق واقعی (ET_c) بدست می‌آید:

$$K_c = ET_c / ET_0 \quad (۱۳)$$

ضریب محصول در طول دوره رشد گیاه متغیر است، اما در مطالعات معمولاً سه ضریب محصول، بترتیب برای ابتدای رشد (Kc_{ini})، اوج رشد (Kc_{mid}) و زمان قبل از برداشت محصول (Kc_{end}) ارائه می‌شود و برای زمان‌های بینابینی، این مقادیر معمولاً درون‌یابی می‌شود. با استفاده از تصاویر، ضرایب محصول محاسبه شده بر حسب ماههای رشد محصول در سه مقطع رشد، میانگین گرفته شد (جدول ۴).

جدول ۴. میانگین ضریب محصول برای سه مقطع رشد محصولات عمده زراعی کشت و صنعت مغان

نوع محصول	انتهای رشد	اوج رشد	ابتداي رشد	جو
چغندرقند	0.109	0.731	0.079	0.404
ذرت بذری	0.188	0.996	0.172	0.59
ذرت دانه‌ای	0.221	1.21	0.172	0.666
گندم	0.065	0.846	0.156	0.554
بوونجه	0.156	1.03	0.065	0.3929

بنابراین در عمل، تبخیر-تعرق گیاه برابر نیاز آبی گیاه در نظر گرفته می‌شود (Pescod, 1992). نیاز آبی یک محصول به نوع محصول، شرایط آب و هوایی و مرحله رشد محصول بستگی دارد.

برای هر تصویر مورد مطالعه، تبخیر-تعرق محاسبه شده برابر است با نیاز آبی گیاه در همان زمان تصویر؛ اما برای تخمین نیاز آبی تجمعی یک منطقه در طول دوره کشت، لازم است یا تصویر ماهواره‌ای برای تمام دوره کشت پردازش شود، یا اینکه از پارامتر ضریب محصول و تغییرات آن در طول دوره رشد استفاده شود. روش اول اگر غیرممکن نباشد به طور قابل ملاحظه‌ای هزینه‌بر و زمان‌بر است. اما روش دوم کاربردی بوده و یکی از اهداف این تحقیق است. برای نیل به این هدف، لازم است ضرایب محصول مخصوص مقاطع مختلف دوره رشد هر محصول برآورد شود. نیاز آبی هر ماه یک محصول (ET_{c_month}) برابر است با تبخیر و تعرق مرجع آن ماه (ET_{0_month}) که توسط ضریب گیاهی همان ماه (K_{c_month}) اصلاح شده باشد:

$$ET_{c_month} = ET_{0_month} * K_{c_month} \quad (۱۲)$$

۵-۲- ضریب گیاهی

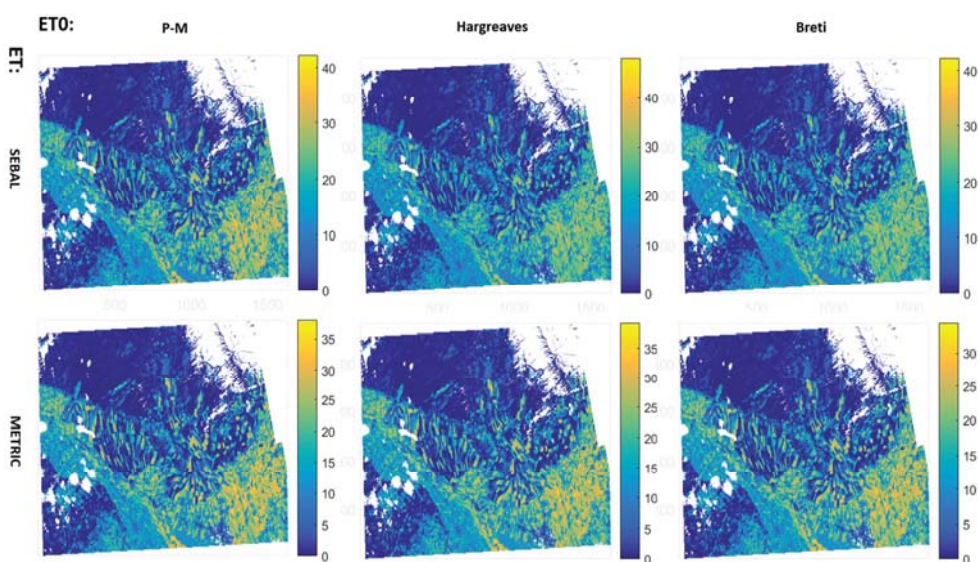
ضریب گیاهی، نسبت بین تبخیر-تعرق هر محصول به تبخیر-تعرق مرجع است. برای محاسبه ضریب گیاهی یک محصول در یک زمان خاص، لازم است تبخیر-تعرق آن محصول و تبخیر-تعرق مرجع مربوط به همان زمان برآورد شود. ضریب محصول از عواملی مانند شرایط اقلیمی (همانند دمای هوا، سرعت باد و رطوبت نسبی)، خصوصیات بیوفیزیکی محصول، زمان کشت، تاریخ جوانه‌زنی، طول فصل رشد، میزان رطوبت خاک، تراکم محصول و سلامت پوشش گیاهی تأثیر می‌پذیرد (Doorenbos and Pruitt, 1977; Allen et al., 1998; Kamble et al., 2013). این ضریب همچنین به دینامیک و زیری تاج‌پوشش گیاه بستگی دارد (Justice et al., 2002).

در مطالعات مربوطه، بسته به اهداف مطالعه و

۶-۲- نیاز آبیاری

نیاز آبی گیاه به وسیله باران، آبیاری یا ترکیبی از این دو تأمین می‌شود. در اکثر موارد، بخش قابل توجهی از بارندگی به صورت رواناب از محل خارج می‌شود. قسمتی از بارندگی که در خاک نفوذ کرده و صرف رشد گیاهان و تبخیر- تعرق می‌شود، بارش مؤثر نام دارد. بنابراین باران مؤثر، قسمت مفید کل باران دریافتی است (Dastane, 1978). برای محاسبه دقیق بارش مؤثر، بایستی مقادیر رطوبت قبل و بعد از هر بارندگی در دسترس باشد. برای تخمین قابل قبول بارش مؤثر روش‌هایی وجود دارد که معمولاً کسری از باران ماهانه را به عنوان باران مؤثر تخمین می‌زنند. برخی از این روش‌ها، برای نواحی خاصی طراحی شده‌اند، برای نواحی که هنوز روش‌های محلی توسعه داده نشده‌اند از روش‌های عمومی استفاده می‌شود. از جمله؛ روش سازمان FAO، روش اداره خدمات حفاظت خاک سازمان کشاورزی ایالات متحده (USDA) و روش روگومایو و همکاران (۲۰۰۳). علاوه بر یک روش عمومی، سازمان FAO برای مناطق با شیب کمتر از ۵٪ نیز یک رابطه ارائه کرده است (رابطه ۱۴). از آنجایی که شیب زمین‌های کشت و صنعت مغان،

با در دست داشتن ضرایب ماهانه محصول و تبخیر- تعرق ماهانه، نیاز آبی برای ماههای سال زراعی ۱۳۹۶ محاسبه شد. همان‌طور که در بخش قبل بیان شده، تبخیر- تعرق واقعی از دو روش سیال و متريک برآورد شده است؛ برای محاسبه تبخیر- تعرق مرجع نیز سه روش پنمن مونتیث، هارگریوز- سمانی و برتری- همکاران بکار گرفته شده است. لذا با توجه به اعمال هر یک از این روشها، نیاز آبی ماهیانه با شش متند محاسبه شده است (شکل ۳). بیشترین میزان نیاز آبی ماهیانه توسط متند سیال- هارگریوز و کمترین میزان آن توسط متند متريک- برتری برآورد شده است. تفاوت میان تخمین‌های این شش متند حداکثر به ۱۷ درصد می‌رسد. در میان آن‌ها، متند متريک- پنمن مونتیث دارای اعتبار بیشتری است، از این رو، در تحقیق حاضر بر این متند تأکید شده و برای برآورد نیاز آبیاری مورد استفاده قرار گرفته است. روش پنمن- مونتیث به دلیل استفاده از پارامترهای متنوع هواشناسی از اهمیت ویژه‌ای برخوردار بوده و در زمینه مطالعات توارن انرژی مورد استفاده فراوان قرار گرفته است. سازمان فائو روش پنمن- مانتیث را به عنوان روش استاندارد برآورد تبخیر- تعرق گیاه مرجع معرفی نمود. (فاؤ، نشریه ۵۶).



شکل ۳. نقشه نیاز آبی ماهیانه منطقه کشت و صنعت مغان (تیرماه ۱۳۹۵) با استفاده از شش متند.

سطرها نشانگر روش تولید تبخیر- تعرق و ستون‌ها نشانگر روش تولید تبخیر- تعرق مرجع است.

آب مورد نیاز برای آبیاری ($IrrNeed_{month}$) در هر ماه برابر است با تفاوت بین نیاز ماهیانه آبی گیاه (ET_{c_month}) و بارندگی مؤثر (ER_{month}) همان ماه (خسروشاهی، ۱۳۹۲، علیزاده، ۱۳۸۵). بنابراین، نیاز آبیاری در طول دوره کشت محصول ($IrrNeed$) عبارت است از جمع نیاز آبی ماههای کاشت (i) تا برداشت (j) محصول (روابط ۱۵ و ۱۶). نیاز آبیاری مزارع بر حسب نوع محصول از ۲۷۰ الی ۱۵۰۰ میلی‌متر متغیر است (جدول ۵).

$$IrrNeed_{month} = ET_{c_month} - ER_{month} \quad (15)$$

$$IrrNeed = \sum_i IrrNeed_{month} \quad (16)$$

کمتر از این مقدار است (میانگین ۴/۴ درصد) در این پژوهه این روش ترجیح داده شد. بارش موثر ماهانه ایستگاه پارس‌آباد معان بر اساس روش‌های معرفی شده، در شکل (۴) آمده است.

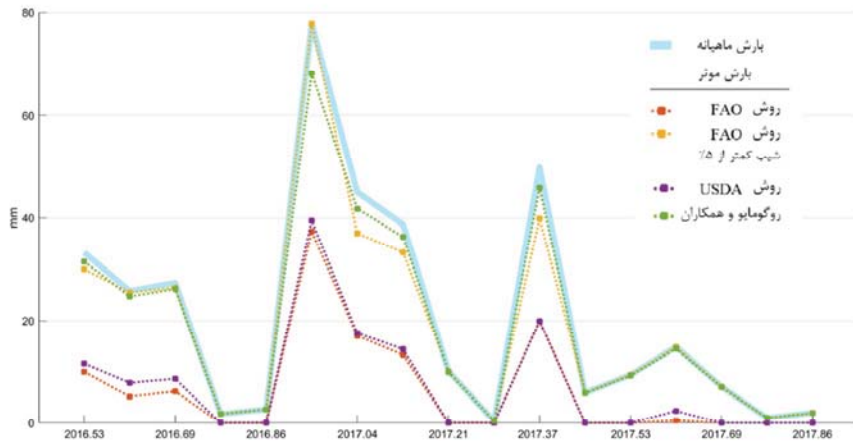
رابطه (۱۴)

$$ER = (0.6 * R) + 10 \quad \text{for: } R < 75 \text{ mm}$$

$$ER = (0.8 * R) + 25 \quad \text{for: } R > 75 \text{ mm}$$

در رابطه بالا R و ER به ترتیب بارش ماهانه و بارش

مؤثر ماهانه هستند.



شکل ۴. بارش ماهانه و بارش موثر ماهانه منطقه مغان بر اساس چهار روش

جدول ۵. نیاز آبیاری کشت و صنعت مغان به تفکیک محصول (سال زراعی ۱۳۹۶)

محصول	نیاز آبیاری (mm)
آفتابگردان	465.8
باغ زیتون	1539.7
پنبه	904.7
جو دیم	272.5
چغندرقند	922.8
ذرت بذری	952.0
ذرت دانهای	818.9
ذرت سیلوری	719.5
کلزا دیم	622.6
گندم دیم	346.9
یونجه	1083.5

شاخص‌های گیاهی چند طیفی، برای برآورد مقادیر Kc در مقیاس مزرعه برای ذرت (Hunsaker et al., 2005; Bastiaanssen et al., 2000; Irmak et al., 2010; Jensen et al., 1990; Bausch et al., 1989 کتان (Irmak et al., 2005) و لوبیا (Hunsaker et al., 2010; Jensen et al., 1990 بوش و نیل (1989)، کاربرد داده‌های سنجش از دوری را از لحاظ برقراری ارتباط میان NDVI فصلی و Bausch et al., 1989; Jayanthi et al., 2011 اثبات کردند (Irmak et al., 2000; Irmak et al., 2011 یک رابطه قوی میان NDVI و ضریب محصول را برای محصولات مورد مطالعه‌شان مشاهده کردند. جانسون و تروت (2012) با استفاده از مشاهدات زمینی روی ۴۹ مزرعه کاشت شده با ۱۸ محصول مختلف، یک رابطه خطی میان ضریب گیاهی و شاخص NDVI یافته‌ند. هونساکر و همکاران (2005) یک رابطه میان ضریب پایه محصول گندم و شاخص NDVI برقرار کردند که دارای همبستگی بالایی در منطقه مورد مطالعه‌شان بود. در مطالعات متعدد از تخمین Kc مبتنی بر شاخص گیاهی برای برآورد نیاز آبیاری استفاده و پیشنهاد شده است (Allen et al., 2011; Calera et al., 2016).

در جدول (۶)، نیاز آبیاری محاسبه شده در تحقیق حاضر با نتایج کار تحقیقی ترامشلو (۱۳۹۱) برای تعدادی از محصولات مقایسه شده است. درصد تفاوت برای تعدادی از محصولات پایین است. باید توجه کرد که نیاز آبیاری یک محصول مستقیماً به اقلیم منطقه وابسته است. به عنوان مثال، نیاز آبیاری زیتون در استان کرمانشاه (میرموسی و همکاران ۱۳۹۱) کمتر از نیاز آبیاری این محصول در منطقه مغان است؛ این تفاوت به دلیل میزان تبخیر-تعرق کمتر و بارش بیشتر استان کرمانشاه نسبت به منطقه مغان می‌باشد.

۳- برآورد ضریب محصولات با استفاده از شاخص‌های گیاهی

معمولًاً بین شاخص‌های طیفی مبتنی بر سنجش از دور و ضرایب محصول، یک رابطه معنی دار مشاهده شده است. روش‌های تجربی و تئوری نیز این مسئله را که ضرایب محصول با تراکم تاج پوشش گیاهی نسبت دارند، تأیید می‌کنند. از جمله شاخص‌های مورد استفاده برای پایش گیاهان، ارزیابی عملکرد محصول و بررسی و سلامت گیاه، شاخص Justice (Kamble et al., et al., 2002; Kamble et al., 2012; Sellers et al., 1985). عده‌ای از محققان از

جدول ۶. مقایسه نیاز آبی تعدادی از محصولات شاخص، طبق نتایج تحقیق حاضر و تحقیق ترامشلو (۱۳۹۱)

درصد تفاوت	نیاز آبیاری		محصول
	تحقیق ترامشلو	تحقیق حاضر	
۱۴	۳۹۷	۴۶۶	گندم
-۴۳	۳۸۹	۲۷۳	جو
۴۲	۵۴۸	۹۵۲	ذرت بذری ^۱
۳۳	۵۴۸	۸۱۸	ذرت دانه‌ای
۲۴	۵۴۸	۷۱۹	ذرت سیلوبی
-۱۵	۱۲۴۸	۱۰۸۳	یونجه
-۲	۹۲۴	۹۰۵	پنبه
-۹۴	۹۰۶	۴۶۶	آفتابگردان
۱۱۳	۹۲۰ - ۷۲۰	۱۵۳۹	زیتون ^۲

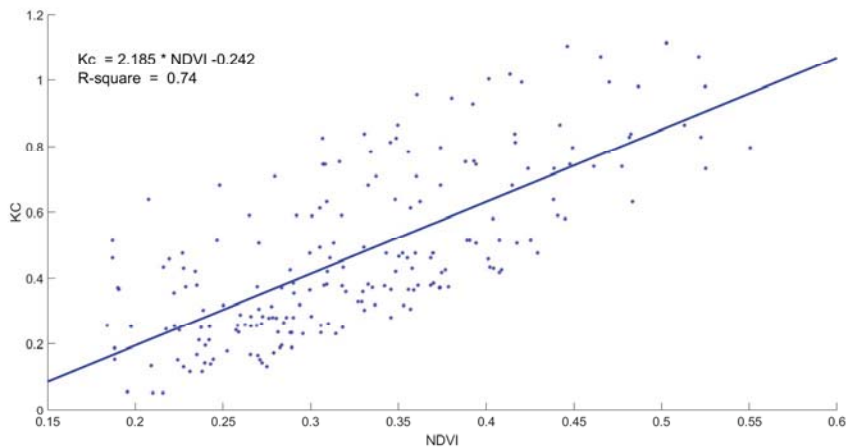
۱- در تحقیق ترامشلو نوع ذرت تفکیک نشده است

۲- بر اساس مقاله سید حسین میرموسی و همکاران (۱۳۹۱)

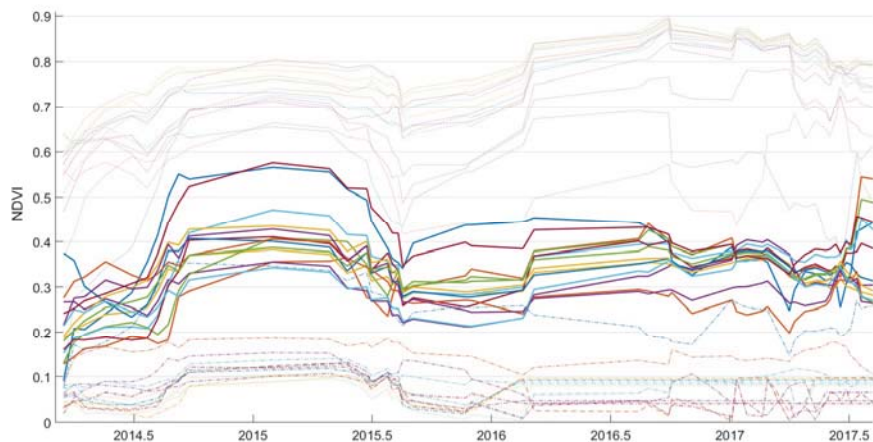
صفر رابطه معکوس ضعیفی مشاهده می‌شود. رابطه NDVI متوسط و ضریب محصولات منطقه مغان در شکل (۵) آمده است.

با استفاده از رابطه خطی نشان داده شده در شکل ۵ برای هر سه مرحله رشد، مقدار ضریب محصولات بر حسب مقادیر NDVI آنها برآورد شد (جدول ۷)؛ مقادیر سه‌گانه NDVI محصولات از منحنی سری‌های زمانی NDVI استخراج شد (شکل ۶). مقادیر KC به دست آمده از NDVI با مقادیر KC که با استفاده از تبخیر-تعرق واقعی، حاصل از تصاویر و تبخیر-تعرق مرجع به دست آمده (جدول ۴) قابل مقایسه است (شکل ۷). میزان RMS بین دو KC در جدول (۸) دیده می‌شود.

در ادامه، روابط میان شاخص NDVI مزارع و ضرایب محصولات در منطقه کشت و صنعت مغان بررسی شد. از نظر سیکل زمانی این رابطه در طول سال متغیر است. بطوریکه در ماه‌های ابتدای رشد (واخر زمستان و اوایل بهار) که به دلیل خنکی هوا میزان تبخیر-تعرق عموماً پایین است رابطه میان شاخص NDVI و ضرایب محصول رابطه قوی بوده و هر کجا NDVI بالاتر است، تبخیر-تعرق و ضرایب محصول به همان نسبت بالاتر است. اما در فصل گرم، به دلیل بالا بودن نسبی میزان تبخیر-تعرق، این رابطه ضعیفتر می‌نماید. رابطه شاخص‌های طیفی و ضریب محصول به مقدار خود NDVI نیز وابسته است. در حالی که برای مقادیر بالای NDVI رابطه قویتری وجود دارد، برای مقادیر زیر NDVI پایین، این رابطه ضعیف است. برای مقادیر NDVI



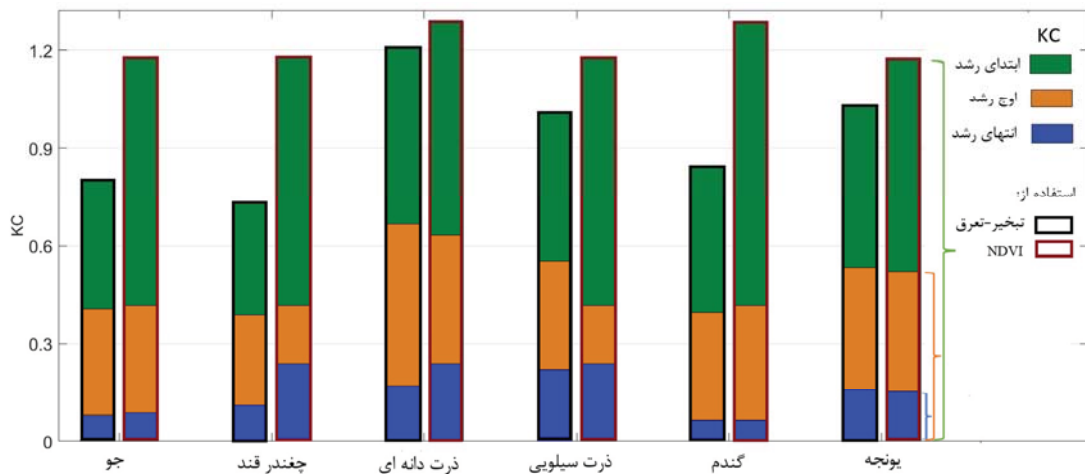
شکل ۵. رابطه NDVI میانگین و ضریب محصولات منطقه مغان



شکل ۶. سری‌های زمانی NDVI محصولات کشاورزی منطقه مغان

جدول ۷. مقدار ضریب محصول برآورد شده برحسب NDVI برای سه مقطع رشد

محصول	ابتدا رشد		اوج رشد		انتهای رشد	
	NDVI	KC	NDVI	KC	NDVI	KC
آفتابگردان	0.22	0.2387	0.65	1.1783	0.45	0.7413
باگ زیتون	0.15	0.0858	0.7	1.2875	0.35	0.5228
بنبه	0.15	0.0858	0.65	1.1783	0.35	0.5228
جو	0.15	0.0858	0.65	1.1783	0.3	0.4135
چغندر قند	0.22	0.2387	0.65	1.1783	0.3	0.4135
ذرت سیلوبی	0.2	0.195	0.65	1.1783	0.35	0.5228
ذرت دانه‌ای	0.22	0.2387	0.7	1.2875	0.4	0.632
کلزا	0.15	0.0858	0.65	1.1783	0.35	0.5228
گندم	0.14	0.0639	0.70	1.2875	0.3	0.4135
یونجه	0.18	0.1513	0.65	1.1783	0.35	0.5228



شکل ۷. مقدادر سه گانه ضریب محصول برای پنج محصول عمدۀ منطقه مغان، بدست آمده از دو روش:

۱- محاسبه تبخیر-تعرق، ۲- برحسب NDVI (مقدادر از ابتدای محور Y درنظرگرفته می‌شود)

جدول ۸. خطای جذر میانگین مربعات برای مقدادر KC بدست آمده از دو روش: ۱- محاسبه تبخیر-تعرق، ۲- برحسب NDVI

محصول:	یونجه	گندم	ذرت سیلوبی	ذرت دانه‌ای	چغندر قند	جو	RMSE
	0.08	0.26	0.13	0.06	0.27	0.21	

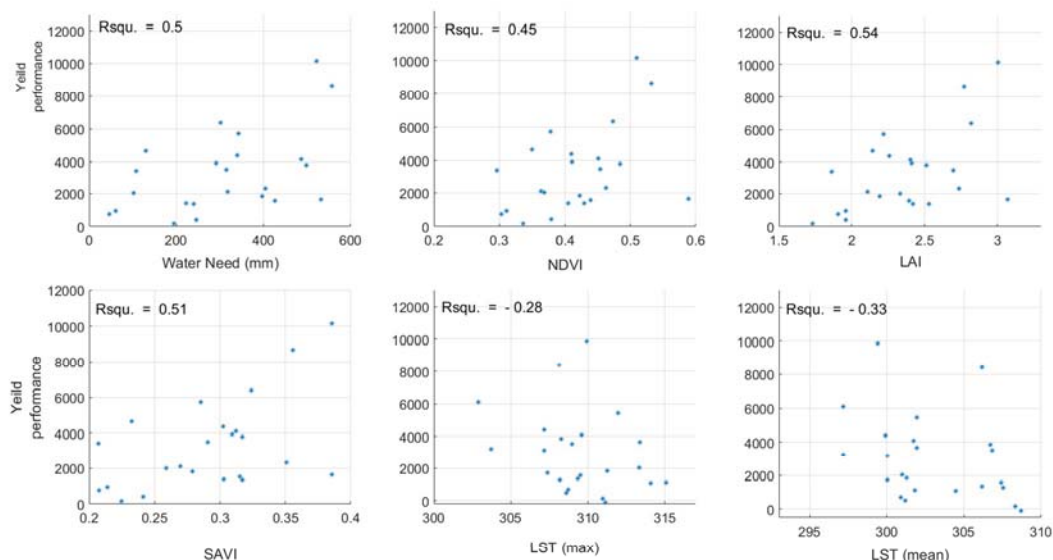
تبخیر-تعرق به طور کلی بدون تفکیک نوع محصول، ۰/۵۱ و بدون احتساب پنبه، چغندر قند و کلزا این ضریب به ۷/۰ می‌رسد. عملکرد تولید همچنین با مقادیر LAI و SAVI دارای رابطه بوده اما با دمای سطح زمین رابطه‌ای نشان نمی‌دهد (شکل ۸). خود شاخص‌های طیفی نیز با همدیگر دارای رابطه قوی هستند، اما این شاخص‌ها با دمای سطح زمین (خواه دمای حداکثر یا دمای میانگین) رابطه‌ای نشان نمی‌دهند (شکل ۹).

۵- بحث و نتیجه‌گیری

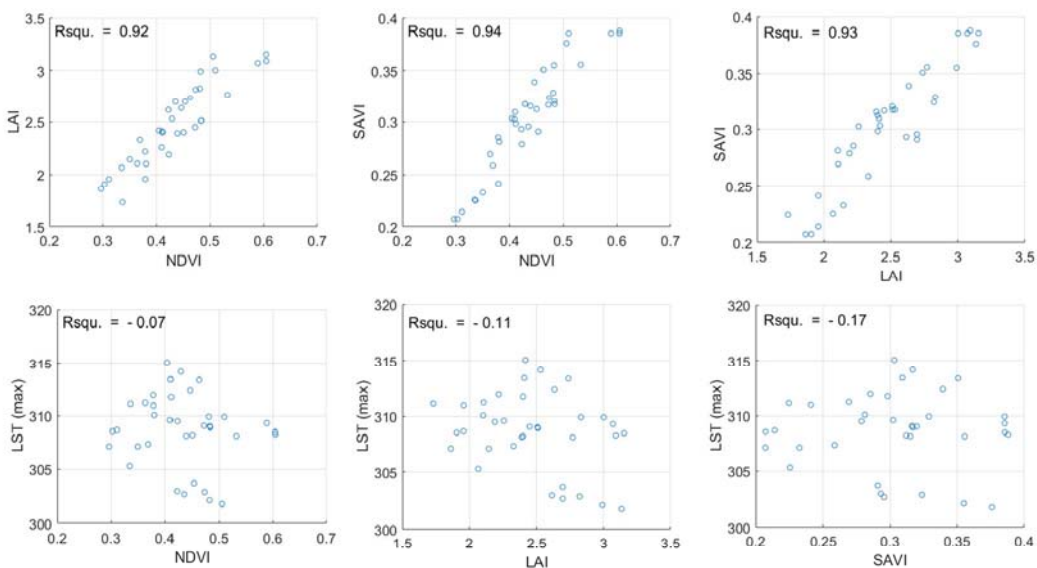
از میان مدل‌های بیلان انرژی سطح زمین که از داده‌های سنجش از دور استفاده می‌کنند، دو سبال و متريک به خوبی شناخته شده و کاربردی هستند. اين دو مدل به طور مشابه، مولفه‌های تاثيرگذار روی دریافت و تخلیه انرژی را محاسبه می‌کنند. روش متريک که توسعه داده شده مدل سبال است، اثر توپوگرافی زمین بر روی بیلان انرژی را نیز مدل می‌کند. برخلاف نواحی کوهستانی، در نواحی هموار و کم‌شیب مانند جلگه‌ها، نتایج این دو مدل، تفاوت ملموسی با هم ندارند.

۴- رابطه نیازآبی محصولات و شاخص‌های طیفی آنها با عملکرد محصولات

داده‌های عملکرد محصولات (میزان تولید بر واحد سطح)، مقدار تبخیر-تعرق و مقادیر شاخص‌های طیفی، در طول سال‌های زراعی ۱۳۹۳ تا ۱۳۹۵ برای آشکار نمودن هرگونه همبستگی و رابطه آماری بین آنها مورد مطالعه قرار گرفت. تعداد کل مزارعی که آمار آن‌ها دریافت شده ۱۰۰۴ مزرعه می‌باشد که مساحت آن‌ها از ۴ تا ۲۵ هکتار متغیر است. برای هر مزرعه بسته به نوع کاشت آن در هر سال، یک عملکرد محصول ثبت شده است. برای حذف مقادیر پرت و کاهش اشتباہات احتمالی در اندازه‌گیری‌ها، از مزارع مشابه میانگین‌گیری شد، بدین صورت، برای هر نوع محصول، یک شاخص عملکرد استخراج شد. همچنین، در مزارع یکسان از لحاظ نوع کشت، مقادیر تبخیر-تعرق، شاخص‌های LAI، NDVI، SAVI و دمای سطح زمین (LST) نیز میانگین‌گیری به عمل آمد. مقایسه سه‌ساله تغییرات این شاخص‌ها نشان می‌دهد که عملکرد تولید محصولات با میزان تبخیر-تعرق آن‌ها دارای رابطه است: ضریب همبستگی عملکرد محصول و میزان



شکل ۸. رابطه میان عملکرد محصول با تبخیر-تعرق، شاخص‌های طیفی و دمای سطح زمین



شکل ۹. رابطه میان شاخص‌های طیفی و دمای سطح زمین

قابل درون‌بایی است. مقایسه ضرایب گیاهی به دست آمده برای محصولات عمدۀ زراعی، با برآوردهای مشابه توسط دیگران، نشان‌دهنده نزدیکی نتایج است. برای برآورد تبخیر-تعرق از روش پنمن مونتیث، که طبق مستندات فائق، معتبرترین روش در این زمینه است، استفاده شد. اما همزمان دو روش هارگریوز و برتری نیز بکار رفته است. این کار برای این است که نتایج روش پنمن مونتیث، مورد ارزیابی قرار گیرد؛ چرا که روش پنمن مونتیث، براساس باندهای تصویری، عمل می‌کند، اما دو روش دیگر، تنها براساس پارامترهای اقلیمی و بدون استفاده از تصویر ماهواره‌ای عمل می‌کنند. مقایسه روش‌ها حاکی از نزدیکی نتایج آن‌هاست.

با توجه به شبیه کم منطقه، مناسب‌ترین روش برای برآورد بارش موثر، روش فائق برای شبیه‌های کمتر از پنج درصد است. از آنجایی که زمین‌های کشاورزی غالباً دارای شبیه کمی هستند، احتمالاً این روش، برای دیگر مناطق جلگه‌ای کشور نیز مناسب است. از میان برآوردهای صورت‌گرفته برای نیاز آبی محصولات کشت و صنعت مغان در سال زراعی ۱۳۹۶، کمترین نیاز آبی به جو دیدم اختصاص دارد (۲۷۲ میلی‌متر) و بیشترین نیاز آبی به باغ زیتون (۱۵۳۹ میلی‌متر) و مزرعه یونجه (۱۰۸۳ میلی‌متر) مربوط می‌شود.

در صورت در دسترس نبودن سری‌های زمانی داده‌های ماهواره‌ای، و بهویژه برای صرفه‌جویی در هزینه و زمان می‌توان از منحنی ضریب محصول برای برآورد تبخیر-تعرق مزارع و در نتیجه میزان نیاز آبی آنها استفاده کرد. برای این امر برآورد ضریب محصول در مقاطع اصلی دوره رشد لازم است. نکته حائز اهمیت اینجاست که ضریب محصول بسته به نوع محصول و منطقه جغرافیایی کشت، متفاوت است. برآورد ضریب محلی محصولات کشاورزی منطقه کشت و صنعت مغان از مهمترین نتایج این تحقیق است.

هرچه فواصل بین اندازه‌گیری‌ها از لحاظ زمانی کمتر باشد برآورد کلی ضریب محصول و در نتیجه نیاز آبی مزارع به واقعیت نزدیکتر خواهد بود. در حالت بهینه لازم است که اندازه‌گیری‌ها، تغییرات رشد محصول و تغییرات آب و هوایی را به صورت حداقلی پوشش دهد، چراکه نیاز آبی محصول توسط این دو عامل کنترل می‌شود. در این تحقیق، برای تخمین ضرایب محصولات منطقه کشت و صنعت مغان، از تصاویر ماهواره‌ای با فاصله زمانی میانگین ۱۳ روز استفاده شده است که می‌تواند توزیع زمانی قابل قبولی باشد؛ چراکه تغییرات رشد گیاه و تغییرات آب و هوایی در این بازه بهطور معمول زیاد نبوده و با خطای کم

با توجه به کافی نبودن منابع آب سطحی کشور، وضعیت نامناسب سفره‌های آب زیرزمینی و خشکسالی‌های متوالی در کشور، مناسب‌ترین راه برای برآورد نیاز آبی زمین‌های کشاورزی و مدیریت آب، استفاده از تکنیک‌های سنجش از دور است. با بهره‌گیری از این روش‌ها می‌توان در جهت صرفه جویی و استفاده بهینه‌تر از آب، در حوزه کشاورزی قدم برداشت.

۶- سپاسگزاری

نویسنده‌گان این مقاله، از پژوهشگاه فضای ایران که تسهیلات نرم‌افزاری و سخت‌افزاری لازم برای انجام این تحقیق را در اختیار گذاشت، تشکر می‌کند. از کارشناسان کشت و صنعت مغان، به خاطر همکاری و ارائه آمار عملکرد محصولات قدردانی می‌شود. همچنین از سازمان زمین‌شناسی ایالات متحده (USGS) نیز، جهت تأمین تصاویر ماهواره‌ای و مدل رقومی ارتفاع قدردانی می‌شود.

۷- منابع

احسانی، م. و خالدی، م.. ۱۳۸۲، شناخت و ارتقای بهره‌وری آب کشاورزی به منظور تأمین امنیت آبی و غذایی کشور، یازدهمین همایش ملی کمیته ملی آبیاری و زهکشی ایران.

برران، ص. و هنربخش، ن. ۱۳۸۶؛ بحران وضعیت آب در ایران و جهان، پژوهش‌نامه مطالعات توسعه پایدار و محیط زیست، شماره اول، تهران، اندیشه برتر پویا.

میرموسوی، س. ح.، پناهی، ح.، اکبری، ح. و اکبرزاده، م.، ۱۳۹۱، واسنجی روش‌های برآورد تبخیر و تعرق پتانسیل گیاه مرجع (ET₀) و محاسبه نیاز آبی (ET_c) گیاه زیتون در استان کرمانشاه، جغرافیا و پایداری محیط، شماره ۳، صفحه ۴۵ تا ۶۴.

بررسی‌ها نشان داد که بین ضرایب محصول و شاخص‌های طیفی گیاه، همبستگی وجود دارد. این همبستگی بسته به نوع محصول در طول دوره رشد نوسان نشان می‌هد. از رابطه بین شاخص‌های طیفی گیاه و ضرایب گیاهی (بدون نیاز به محاسبه تبخیر-تعرق)، می‌توان مستقیماً برای تخمین ضریب محصول و نیاز آبی محصولات استفاده کرد. طبق نتایج، بین میزان تبخیر-تعرق و عملکرد محصول، رابطه وجود دارد. تحت تاثیر میزان دریافت انرژی و فعالیت ساختمان گیاهان هرچه میزان تبخیر-تعرق محصول بالاتر باشد، میزان تولید بر واحد سطح بالاتر است. بررسی اندازه‌گیری‌های سه ساله نشان می‌دهد که ضریب همبستگی میزان تبخیر-تعرق و عملکرد محصول برای محصولات گندم، جو و یونجه حدود ۰/۷ است. این همیستگی برای مزارع پنبه، چغندر قند و کلزا پایین‌تر است. قابل ذکر است که محصول اصلی چغندر قند در زیر سطح خاک بوده و لذا طبیعی است که شاخص‌های طیفی اندازه‌گیری شده ممکن است دارای رابطه قوی با عملکرد محصول نباشند. ضعیف بودن روابط بین شاخص‌های طیفی و عملکرد محصول برای محصول کلزا مستلزم مطالعه بیشتر است؛ اما به نظر می‌رسد میزان عملکرد بالای این محصول (نسبت به محصولاتی همچون گندم، جو و یونجه)، از قوی بودن رابطه‌ها کاسته است.

عملکرد تولید همچنین با مقادیر شاخص‌های طیفی NDVI، LAI و SAVI رابطه نشان می‌دهد. خود شاخص‌های طیفی نیز با همدیگر دارای رابطه قوی هستند. شاخص‌های LAI، NDVI و SAVI کمابیش بازخوردهایی از خصوصیات فیزیکی سطح مزرعه بوده و از این رو بطور نسبی همبسته هستند. اما هیچکدام از عملکرد تولید و یا شاخص‌های طیفی با دمای سطح زمین رابطه‌ای نشان نمی‌دهد. شاخص دمای سطح، علاوه بر خصوصیات فیزیکی، تحت تاثیر ساختمان و بیوشیمی گیاهان نیز بوده و بهمین دلیل لزوماً با سایر شاخص‌ها همبسته نمی‌باشد.

- Allen, R. G., Tasumi, M. & Trezza, R., 2002, **Surface energy Balance Algorithm for Land**, Advanced training and user's manual, Idaho Implementation, Version 1.
- Allen, R.G., Tasumi, M., Morse, A., Trezza, R., Wright, J.L. & Bastiaanssen, W., et al., 2007, **Satellite-based Energy Balance for Mapping Evapotranspiration with Internalized Calibration (METRIC)-Applications**, Journal of Irrigation and Drainage Engineering, 133, 395-406.
- Allen, R.G., Tasumi, M., Trezza, R., Robison, C.W., Garcia, M., Toll, D., Arsenault, K., Hendrickx, J.M.H. & Kjaersgaard, J., 2008, **Comparison of Evapotranspiration Images Derived from MODIS and Landsat along the Middle Rio Grande**, American Geophysical Union, Fall Meeting 2008, abstract id. H43G-1094.
- Allen, R.G., Pereira, L.S., Howell, T.A. & Jensen, M.E., 2011, **Evapotranspiration information reporting: I. Factors governing measurement accuracy**, Agric. Water Manag.
- Bashir, M., Hata, T., Abdelhadi, A., Tanakamaru, H., & Tada, A., 2006, **Satellite-Based Evapotranspiration and Crop Coefficient for Irrigated Sorghum in the Gezira Scheme, Sudan**, Hydrology and Earth System Sciences Discussions, 793-817.
- Bastiaanssen, W.G.M., Menenti, M., Feddes, R.A. & Holtslag, A.A.M.A, 1998, **Remote Sensing Surface Energy Balance Algorithm for Land (SEBAL): 1. Formulation**, Journal of Hydrology, 212-213, 198-212.
- Bastiaanssen, W.G.M., Pelgrum, H., Wang, J., Ma, Y., Moreno, J.F., Roerink, G.J., et al., 1998, **A Remote Sensing Surface Energy Balance Algorithm for Land (SEBAL): 2. Validation**, Journal of Hydrology, 212-213, 213-229.
- Bastiaanssen, W.G.M., 2000, **SEBAL-based Sensible and Latent Heat Fluxes in the Irrigated Gediz Basin, Turkey**, Journal of Hydrology, 229, 87-100.
- Bastiaanssen, W.G.M. & Chandrapala, L., 2003, **Water Balance Variability across Sri Lanka for Assessing Agricultural and Environmental Water Use**, Agricultural Water Management, 58, 171-192.
- Bastiaanssen, W.G.M., Noordman, E.J.M., Pelgrum, H., Davids, G., Thoreson, B.P., & Allen, R.G., 2005, **SEBAL Model with Remotely Sensed Data to Improve Water Resources Management under Actual Field Conditions**, Journal of Irrigation and Drainage Engineering, 131, 85-93.
- Berti, A., Tardivo, G., Chiaudani, A., Rech, F., Borin, M., 2014, **Assessing reference evapotranspiration by the Hargreaves method in north-eastern Italy**, Agric. Water Manage. 140, 20-25.
- Bhattarai, N., Dougherty, M., Marzen, L.J., & Kalin, L., 2012, **Validation of Evaporation Estimates from a Modified Surface Energy Balance Algorithm for Land (SEBAL) Model in the South-Eastern United States**, Remote Sensing Letters, 511-519.
- Doorenbos, J. & Pruitt, W., 1977, **Guiedline for predicting Crop water requirements**, Food and Agriculture Organization of the United Nations, Rome.
- Dastane, N.G., 2013, **Effective rainfall**, Irrigation and drainage paper 25, FAO, Rome, Italy. <http://www.fao.org/docrep/X5560E/X5560E00.htm>.
- Duchemin, J., Hadria, R., Er-Raki, S., Boulet, G., Maisongrande, P., Chehbouni, A., Escadafal, R., Ezzahar, J., Hoedjes, J., Karroui, H., Khabba, S., Mougenot, B., Olioso, A., Rodriguez, J.-C. & Simonneaux, V., 2006, **Monitoring wheat phenology and irrigation in Central Morocco: on the use of relationship between evapotranspiration, crops coefficients, leaf area index and remotely-sensed vegetation indices**, Agric. Water Manage., 79, 1-27.
- Droogers, P., 2000, **Estimating Actual Evapotranspiration using a Detailed Agro-Hydrological Model**, Journal of Hydrology, 229, 50-58.

- Justice, C.O., Townshend, J.R.G., Vermote, E.F., Masouka, E., Wolfe, R.E., Saleous, S., Roy, D.P. & Morisette, J.T., 2002, **An overview of MODIS Land data processing and product status**, Remote Sensing of Environment 83, 3e15.
- Kamble, B., Kilic, A., Hubbard, K., 2013, **Estimating crop coefficients using remote sensing-based vegetation index**, Remote Sensing, 5(4), 1588-1602.
- Landsat 8 (L8) Data Users Handbook, 2016, Department of the Interior U.S. Geological Survey, USGS, Version 2.
- Landsat Collections, 2016, **United States Geological Survey (USGS)**. <http://landsat.usgs.gov/landsatcollections.php>.
- Olmedo, G.F., Ortega-Farias, S., Fuente-Saize, D., Fonseca-Luego, D. & Fuentes-Penailillo, F., 2016, **water: Tools and Functions to Estimate Actual Evapotranspiration Using Land Surface Energy Balance Models in R**, The R Journal, 8:2, pages 352-369.
- Paiva, C.M., Franca, G.B., Liu, W.T.H. & Rotunno Filho, O.C., 2011, **A Comparison of Experimental Energy Balance Components Data and SEBAL Model Results in Dourados, Brazil**, International Journal of Remote Sensing, 32, 1731-1745.
- Penman, L.H., 1963, **Vegetation and Hydrology**, Tech. Comm. No. 53, Commonwealth Bureau of Soils, Harpenden. England.,125.
- Pescod, M. B., 1992, **Water treatment and use in agriculture**, Fao Irrigation and drainage; Paper NO. 55.
- Roy, D.P., Wulder, M.A., Loveland, T.R., Woodcock, C.E., Allen, R.G., Anderson, M.C., et al., 2014, **Landsat-8: Science and Product Vision for Terrestrial Global Change Research**, Remote Sensing of Environment, 145, 154-172.
- Ruhoff, A. L., Paz, A. R., Collischonn, W., Aragao, L. E., Rocha, H. R., & Malhi, Y. S. A, 2012, **MODIS-Based Energy Balance to Estimate Evapotranspiration for Clear-Sky Days in Brazilian Tropical Savannas**, Remote Sensing, 4: 703-25.
- Santos, C., Lorite, I.J., Allen, R.G., & Tasumi, M., 2012, **Aerodynamic Parameterization of the Satellite-Based Energy Balance (METRIC) Model for ET Estimation in Rain fed Olive Orchards of Andalusia, Spain**, Water Resources Management, 26, 3267-3283.
- Tasumi, M., Allen, R. G., Trezza, R. & Wright, J. L., 2005a, **Satellite-based energy balance to assess within-population variance of crop coefficient curves**, J. Irrig. and Drain. Engrg, ASCE 131(1):94-109.
- Tasumi, M., Trezza, R., Allen, R.G. & Wright, J. L., 2005b, **Operational aspects of satellite-based energy balance models for irrigated crops in the semi-arid U.S.**, J. Irrigation and Drainage Systems, 19:355-376.
- Tasumi, M., Trezza, R. & Allen, R.G., 2006, **METRIC Manual for MODIS Image Processing** Version 1.0. University of Idaho R&E Center, Kimberly, Idaho. 67 p.
- Teixeira, A.H.d.C., Bastiaanssen, W.G.M., Ahmad, M.D. & Bos, M.G., 2009, **Reviewing SEBAL input parameters for assessing evapotranspiration and water productivity for the Low-Middle São Francisco River basin, Brazil: part A: calibration and validation**, Agricultural and Forest Meteorology, 149 (3–4), 462–476.
- Zhe Zhu, Curtis E. Woodcock, 2011, **Object-based cloud and cloud shadow detection in Landsat imagery**, Remote Sensing of Environment 118 (2012) 83–94. Available from: <https://www.researchgate.net/publication/256850150>.



سنجش از دور

، ایران GIS

سنجش از دور و GIS ایران سال بیانیه، شماره چهارم، زمستان ۱۳۹۸
Vol.11, No. 4, Winter 2020 Iranian Remote Sensing & GIS

11-28



Estimation of Crop Coefficients in the Moghan Cultivation Industry and the Study of Relationship between Evapotranspiration and Yield Performance

Moradi, A.^{1*}, Babaei, H.¹, Alimohammadi, A.², Radiom, S.¹

1. Space Research Institute, Iranian Space Research Center, Tehran, Iran

2. Associate professor at K.N. Toosi University of Technology, Tehran, Iran

Abstract

The increasing shortage of the renewable water resources in the country has made the farm water needs estimation to become as one of the important priorities in agricultural water management. Farm water needs are normally controlled by climatologic factors. It equals to the reference evapotranspiration which is corrected by a scaling factor associated to the crop kind and to local characteristics. In this research, using Landsat satellite imagery, we estimated and compared the crop coefficients for main agricultural crops in the Moghan cultivation industry, from two procedures: the first based on evapotranspiration measuring, and the second based on NDVI measuring. The comparisons in the case of the five main crops showed that the Root Mean Square Errors are within an acceptable range, less than 0.28. In the following, the evapotranspiration based crop coefficient has been used in order to estimate farm water needs. Farm's water needs are indeed estimated by six methods: a combination of two actual evapotranspiration and three reference evapotranspiration ways. Among the six methods, the Metric/PenmanMonteith method was selected for final step, i.e. farm irrigation needs. The farm irrigation needs is equivalent to farm water need minus effective rain. We compared four different ways for estimating the effective rains but preferred the FAO method assigned for low slopes. Based on our results, farm irrigation needs in the Moghan cultivation industry range from 270 mm (for rainfed barley) to 1500 mm (olive groves). Statistical investigation in three years data revealed a dependency between yield performance and evapotranspiration rate. In addition, it showed that yield performance is correlated with crop spectral indices such as NDVI, LAI and SAVI. The primary goal of this research is to estimate local agricultural crop coefficient in the Moghan cultivation industry. The second goal is to investigate of relationships between crop coefficient and crop spectral indices in order to make the crop coefficient estimable directly from spectral indices.

Keywords: Evapotranspiration, Crop Coefficient, Water Need, Moghan Cultivation Industry.

Correspondence Address: Space Research Institute, Iranian Space Research Center, Tehran, Iran.

Email: ayoubmoradi@gmail.com